



# 使用旋转阵列构型的方法 解稀疏线性阵列DOA估计中的测向模糊

A Method Based on Rotatory Array Configuration to Solve DOA  
Estimation Ambiguities in Sparse Linear Array

Present By: Cui Ao

# 目录

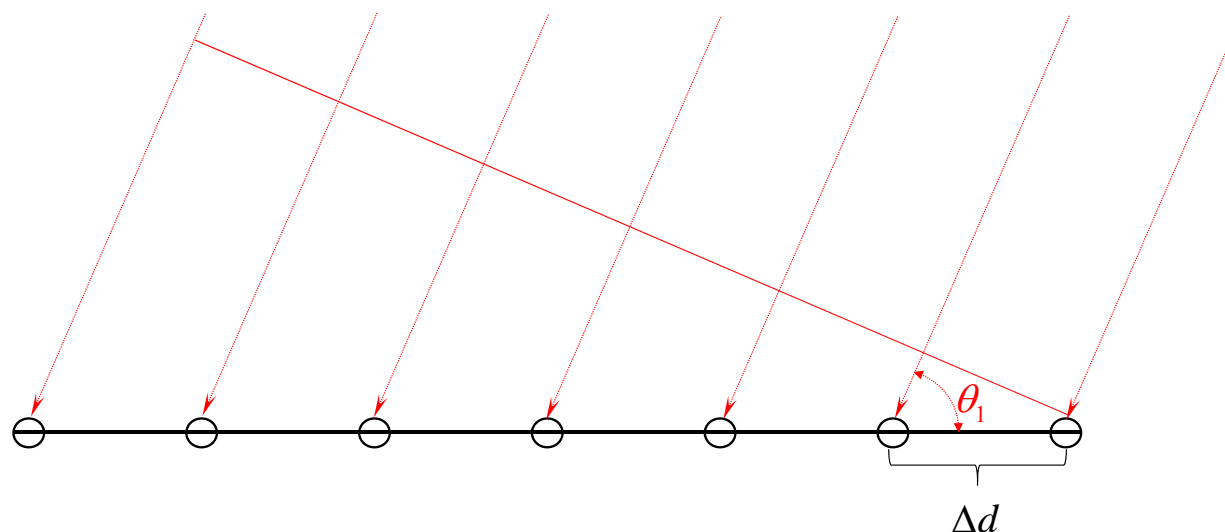
---

1. 引言;
2. 旋转阵列构型方法及准则;
3. 数值仿真结果与分析;
4. 结论、展望与讨论;

# 1. 引言

# 1. 引言

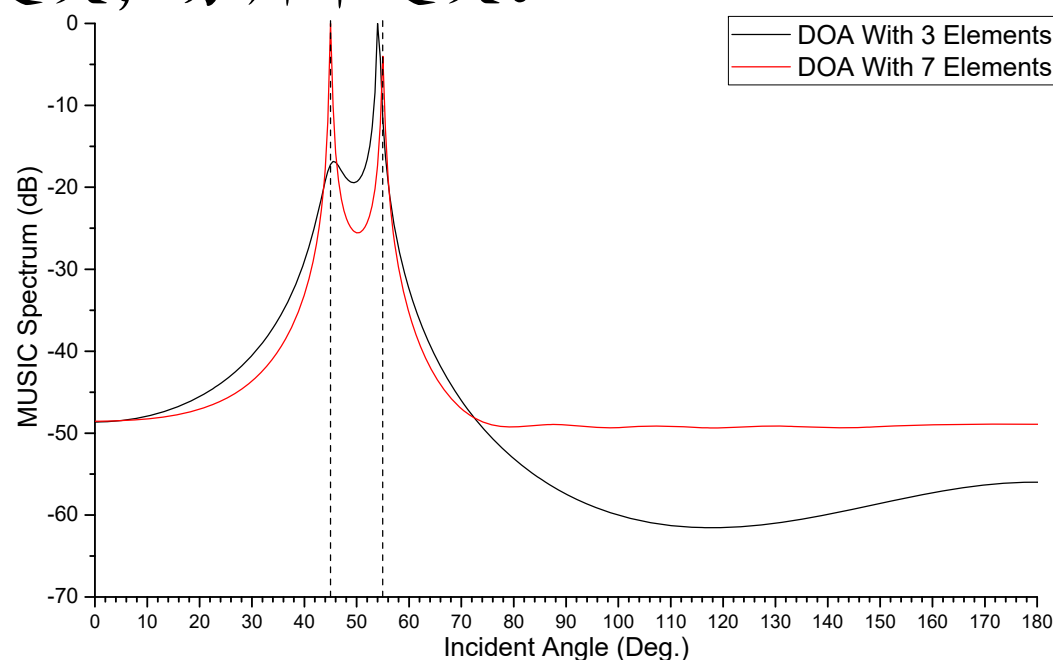
波达角（DOA）估计简言之是利用阵列传感器接收到的平面波（或球面波）所产生的相位差来估计入射信号的角度。随着雷达、声呐、通信、地震学、电子监视和射电天文学等等领域的快速发展，DOA估计作为信号角度测向中的关键技术越来越受到广泛关注。



# 1. 引言

在阵列中，每个阵元相当于对信号场进行空间采样。一般情况下，需要满足空间采样定理，即阵元间距不能大于入射信号的半波长。

此外，阵列的孔径（线性阵列中对应于阵列的长度）与DOA估计的分辨率成正比，即孔径越大，分辨率越大。



# 1. 引言

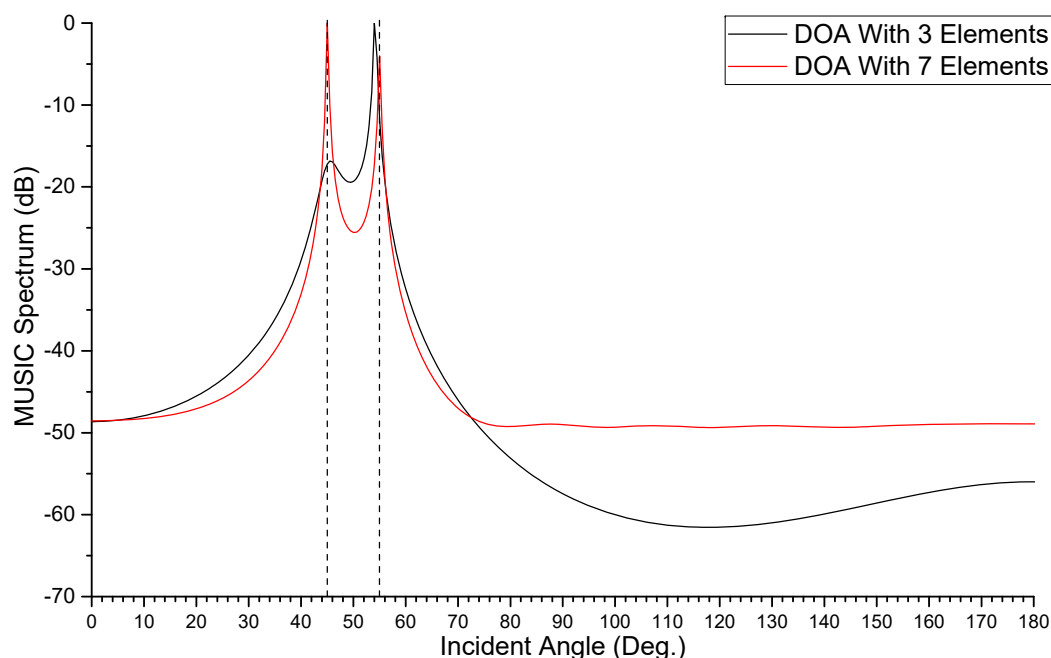


Fig. 3 Incident Angle = [45, 55], SNR=10, Element Interval=0.45 $\times\lambda$

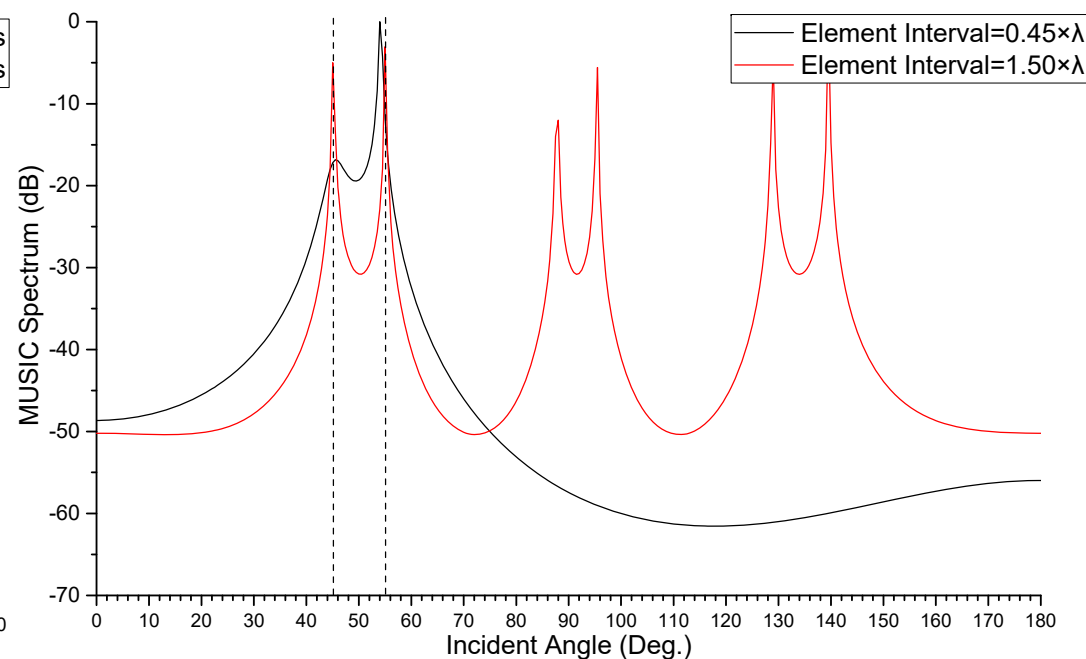


Fig. 4 Incident Angle = [45, 55], SNR=10, Element Number=3

增大阵列孔径最简单的方法是增加阵元数量，但是这势必会带来系统复杂性和运算复杂度的问题。

另一种思路是保持阵元数量不变，仅仅靠增大阵元间距扩大阵列孔径。但由于不满足空间采样定理，因此会存在虚假峰问题，影响DOA估计的准确性。

# 1. 引言

目前稀疏阵去模糊方法主要分为以下三类：

- 1、通过优化阵列阵元位置，使构造的阵列不产生模糊性；
- 2、在原有稀疏阵的基础上引入一个附加阵元，或者在接收信号时移动阵元；
- 3、从算法角度考虑去模糊特性

此外，根据Sun Hai-Lang等人的研究，提出了一种基于MUSIC算法的方法。该方法首先需要获得两组数据，其中一组数据是原始阵列的DOA估计结果，另一组数据通过滑动阵元，即改变阵元间距获得的DOA估计结果，然后比较两组结果，不能重合的MUSIC谱峰即为虚假峰。但该方法由于需要滑动阵元位置，因此耗时且难以控制。

分析以上背景，目前已有方法要么计算复杂度较大，要么难以实现。与此同时，由阵列角度出发来解模糊的方法少有提及，即使有也仅仅基于实验的观察，并没有进行深入的理论论证。

## 2. 旋转阵列构型方法及准则



## 2. 旋转阵列构型方法及准则

实际上，使用MUSIC算法进行DOA估计本质上是一个求解线性齐次方程组问题。即令 $\theta$ 在某个角度区间内扫描，并以此根据阵列构型生成对应的导向矢量 $\mathbf{a}(\theta)$ 。当 $\mathbf{a}(\theta)$ 与噪声空间的基向量 $\mathbf{U}^H$ 正交时，得到空间谱的峰值。

$$P_{MUSIC}(\theta) = \frac{1}{\mathbf{a}^H(\theta)\mathbf{U}\mathbf{U}^H\mathbf{a}(\theta)}, \exists \forall Peak = \theta_i \Leftrightarrow \mathbf{U}^H\mathbf{a}(\theta_i) = \mathbf{0}$$

假设具有 $N$ 阵元的阵列对 $M$ 个不同方向入射信号进行DOA估计，阵列间距不满足空间采样定理时，得到的空间谱存在虚假峰 $P(\tilde{\theta})$ ，即 $\tilde{\theta} \neq \theta_i, i = 1 \sim M$ ， $\mathbf{U}^H\mathbf{a}(\tilde{\theta}) = 0$ ，因此有：

$$\mathbf{a}(\tilde{\theta}) = \sum_{i=1}^M k_i \mathbf{a}(\theta_i)$$

## 2. 旋转阵列构型方法及准则

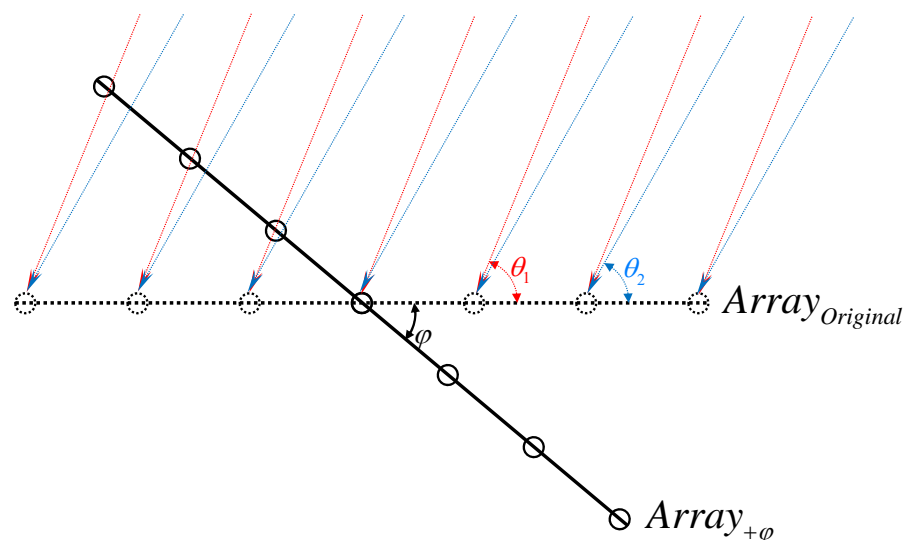
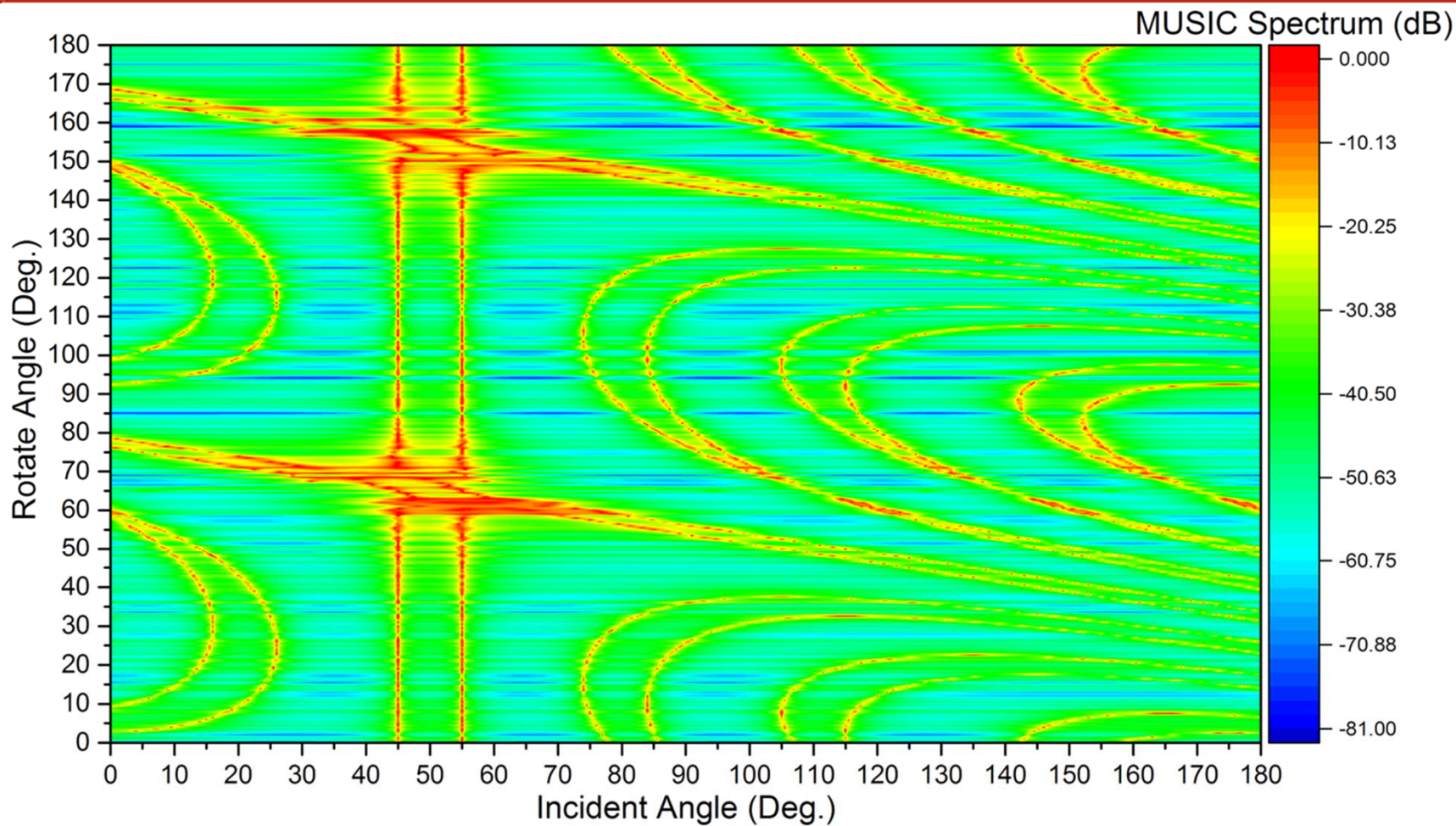


Fig. 5 Illustration of DOA Estimation of Rotatory Array

如左图所示，假设相对于原始阵列 $Array_{Original}$ ，有两个信号，入射方向分别为 $\theta_1$ 和 $\theta_2$ ，并且其由于不满足空间采样定理存在一组虚假峰 $\{\tilde{\theta}_i\}$ 。则当阵列相对于原始位置转动了角度 $\varphi$ 后，入射信号不变，相对于形成的新阵列 $Array_{+\varphi}$ 的入射方向相应会变为 $\theta_1 + \varphi$ 和 $\theta_2 + \varphi$ ，若其虚假峰为 $\{\tilde{\theta}_i + \tilde{\varphi}_i\}$ 且 $\tilde{\varphi}_i \neq \varphi$ ，则可将两个阵列DOA结果相乘以消除虚假峰。

## 2. 旋转阵列构型方法及准则



## 2. 旋转阵列构型方法及准则

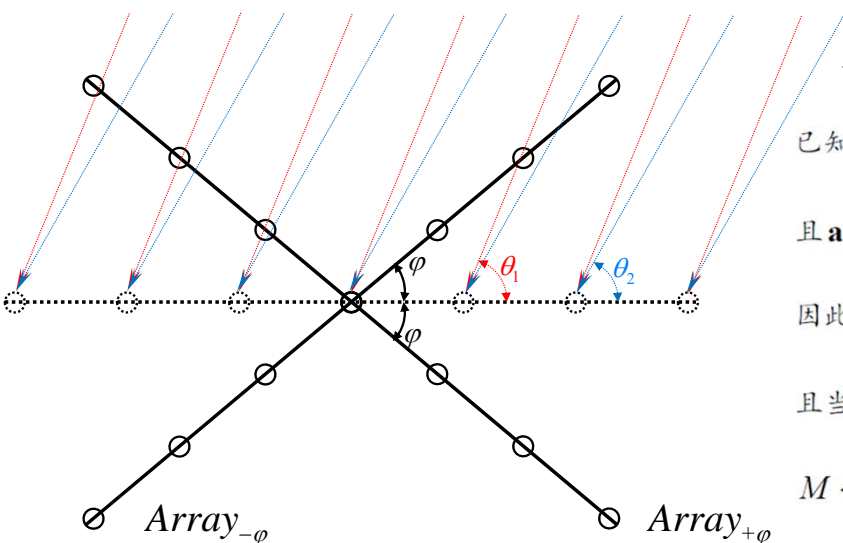


Fig. 7 Array Structure

如左图所示，相对于水平位置有两个阵列  $Array_{+\varphi}$  和  $Array_{-\varphi}$

已知  $\cos(\theta + \varphi) + \cos(\theta - \varphi) = 2 \cos \theta \cos \varphi$ ,

且  $\mathbf{a}(\theta) = [1 \quad e^{-j2\pi\rho\cos\theta} \quad \dots \quad e^{-j2\pi(N-1)\rho\cos\theta}]^T$ ,  $\mathbf{b}(\theta, \varphi) = [1 \quad e^{-j2\pi\rho2\cos\varphi\cos\theta} \quad \dots \quad e^{-j2\pi(N-1)\rho2\cos\varphi\cos\theta}]^T$ ,

因此有:  $\mathbf{a}(\theta + \varphi) = \text{diag}[\mathbf{a}^*(\theta - \varphi)]\mathbf{b}(\theta, \varphi)$

且当  $\rho > 0.5$  时,  $Array_{+\varphi}$  在  $\tilde{\theta} + \varphi$  存在虚假峰,  $\mathbf{a}(\tilde{\theta} + \varphi)$  是  $\mathbf{a}(\theta_1 + \varphi), \mathbf{a}(\theta_2 + \varphi), \dots, \mathbf{a}(\theta_M + \varphi)$  的线性组合, 其中

$M < N$ ,  $\tilde{\theta}, \theta_1, \theta_2, \dots, \theta_M \in [-180, 180]$ 。

证明:  $\mathbf{a}(\tilde{\theta} - \varphi)$  不是  $\mathbf{a}(\theta_1 - \varphi), \mathbf{a}(\theta_2 - \varphi), \dots, \mathbf{a}(\theta_M - \varphi)$  的线性组合。

## 2. 旋转阵列构型方法及准则

证明:

反证法:

假设  $\mathbf{a}(\tilde{\theta} - \varphi)$  是  $\mathbf{a}(\theta_1 - \varphi), \mathbf{a}(\theta_2 - \varphi), \dots, \mathbf{a}(\theta_M - \varphi)$  的线性组合。

则

$$\mathbf{a}(\tilde{\theta} + \varphi) = \sum_{i=1}^M k_i \mathbf{a}(\theta_i + \varphi) = \sum_{i=1}^M k_i \text{diag}[\mathbf{a}^*(\theta_i - \varphi)] \mathbf{b}(\theta_i, \varphi) = \text{diag}[\mathbf{a}^*(\tilde{\theta} - \varphi)] \mathbf{b}(\tilde{\theta}, \varphi)$$

$$\text{又因为 } \mathbf{a}(\tilde{\theta} - \varphi) = \sum_{r=1}^M c_r \mathbf{a}(\theta_r - \varphi), \text{ 可得 } \text{diag}[\mathbf{a}^*(\tilde{\theta} - \varphi)] = \sum_{r=1}^M c_r^* \text{diag}[\mathbf{a}^*(\theta_r - \varphi)],$$

$$\text{因此有 } \sum_{i=1}^M k_i \text{diag}[\mathbf{a}^*(\theta_i - \varphi)] \mathbf{b}(\theta_i, \varphi) = \sum_{r=1}^M c_r^* \text{diag}[\mathbf{a}^*(\theta_r - \varphi)] \mathbf{b}(\tilde{\theta}, \varphi)$$

展开有:

展开有:

$$\begin{bmatrix} \sum_{i=1}^M k_i \\ \sum_{i=1}^M k_i e^{j2\pi\rho\cos(\theta_i-\varphi)} e^{-j2\pi\rho2\cos\theta_i\cos\varphi} \\ \vdots \\ \sum_{i=1}^M k_i e^{j2\pi(N-1)\rho\cos(\theta_i-\varphi)} e^{-j2\pi(N-1)\rho2\cos\theta_i\cos\varphi} \end{bmatrix} = \begin{bmatrix} \sum_{r=1}^M c_r^* \\ e^{-j2\pi\rho2\cos\tilde{\theta}\cos\varphi} \sum_{r=1}^M c_r^* e^{j2\pi\rho\cos(\theta_r-\varphi)} \\ \vdots \\ e^{-j2\pi(N-1)\rho2\cos\tilde{\theta}\cos\varphi} \sum_{r=1}^M c_r^* e^{j2\pi(N-1)\rho\cos(\theta_r-\varphi)} \end{bmatrix}$$

进而得方程组:

$$\begin{cases} \sum_{i=1}^M \left( (k_i e^{-j2\pi0\rho2\cos\theta_i\cos\varphi} - c_i^* e^{-j2\pi0\rho2\cos\tilde{\theta}\cos\varphi}) e^{j2\pi0\rho\cos(\theta_i-\varphi)} \right) = 0 \\ \sum_{i=1}^M \left( (k_i e^{-j2\pi\rho2\cos\theta_i\cos\varphi} - c_i^* e^{-j2\pi\rho2\cos\tilde{\theta}\cos\varphi}) e^{j2\pi\rho\cos(\theta_i-\varphi)} \right) = 0 \\ \dots \\ \sum_{i=1}^M \left( (k_i e^{-j2\pi(N-1)\rho2\cos\theta_i\cos\varphi} - c_i^* e^{-j2\pi(N-1)\rho2\cos\tilde{\theta}\cos\varphi}) e^{j2\pi(N-1)\rho\cos(\theta_i-\varphi)} \right) = 0 \end{cases}$$

由于  $\{\mathbf{a}(\theta_1 - \varphi) \quad \mathbf{a}(\theta_2 - \varphi) \quad \dots \quad \mathbf{a}(\theta_M - \varphi)\}$  是信号空间的一组基, 互相列线性无关, 因此要满足上面方程, 必然

有  $(k_i e^{-j2\pi n\rho\cos\theta_i\cos\varphi} - c_i^* e^{-j2\pi n\rho\cos\tilde{\theta}\cos\varphi}) = 0$ , 其中  $i = 1 \sim M; n = 0 \sim N-1$ , 可推出:

## 2. 旋转阵列构型方法及准则

$$\mathbf{b}(\tilde{\theta}, \varphi) = \begin{bmatrix} e^{-j2\pi 0 \rho 2 \cos \tilde{\theta} \cos \varphi} \\ e^{-j2\pi \rho 2 \cos \tilde{\theta} \cos \varphi} \\ \vdots \\ e^{-j2\pi (N-1) \rho 2 \cos \tilde{\theta} \cos \varphi} \end{bmatrix} = \begin{bmatrix} \frac{\sum_{r=1}^M k_r e^{-j2\pi 0 \rho 2 \cos \theta_r \cos \varphi}}{\sum_{i=1}^M c_i^*} \\ \frac{\sum_{r=1}^M k_r e^{-j2\pi \rho 2 \cos \theta_r \cos \varphi}}{\sum_{i=1}^M c_i^*} \\ \vdots \\ \frac{\sum_{r=1}^M k_r e^{-j2\pi (N-1) \rho 2 \cos \theta_r \cos \varphi}}{\sum_{i=1}^M c_i^*} \end{bmatrix} = \sum_{r=1}^M \frac{k_r}{C} \mathbf{b}(\theta_r, \varphi)$$

由上式可以看出  $\mathbf{b}(\theta, \varphi)$  是  $\{\mathbf{b}(\theta_1, \varphi), \mathbf{b}(\theta_2, \varphi), \dots, \mathbf{b}(\theta_M, \varphi)\}$  的线性组合。

当  $0 < 2\rho \cos \varphi < 0.5$  时，向量组  $\{\mathbf{b}(\theta, \varphi)\}$  在  $\theta \in [0, 180]$  一定列线性无关，无法得到上述结论，因此与题设矛盾。

因此  $0 < 2\rho \cos \varphi < 0.5$  时，原假设不成立， $\mathbf{a}(\tilde{\theta} - \varphi)$  不是  $\mathbf{a}(\theta_1 - \varphi), \mathbf{a}(\theta_2 - \varphi), \dots, \mathbf{a}(\theta_M - \varphi)$  的线性组合。

### 3. 数值仿真结果与分析



### 3. 数值仿真结果与分析

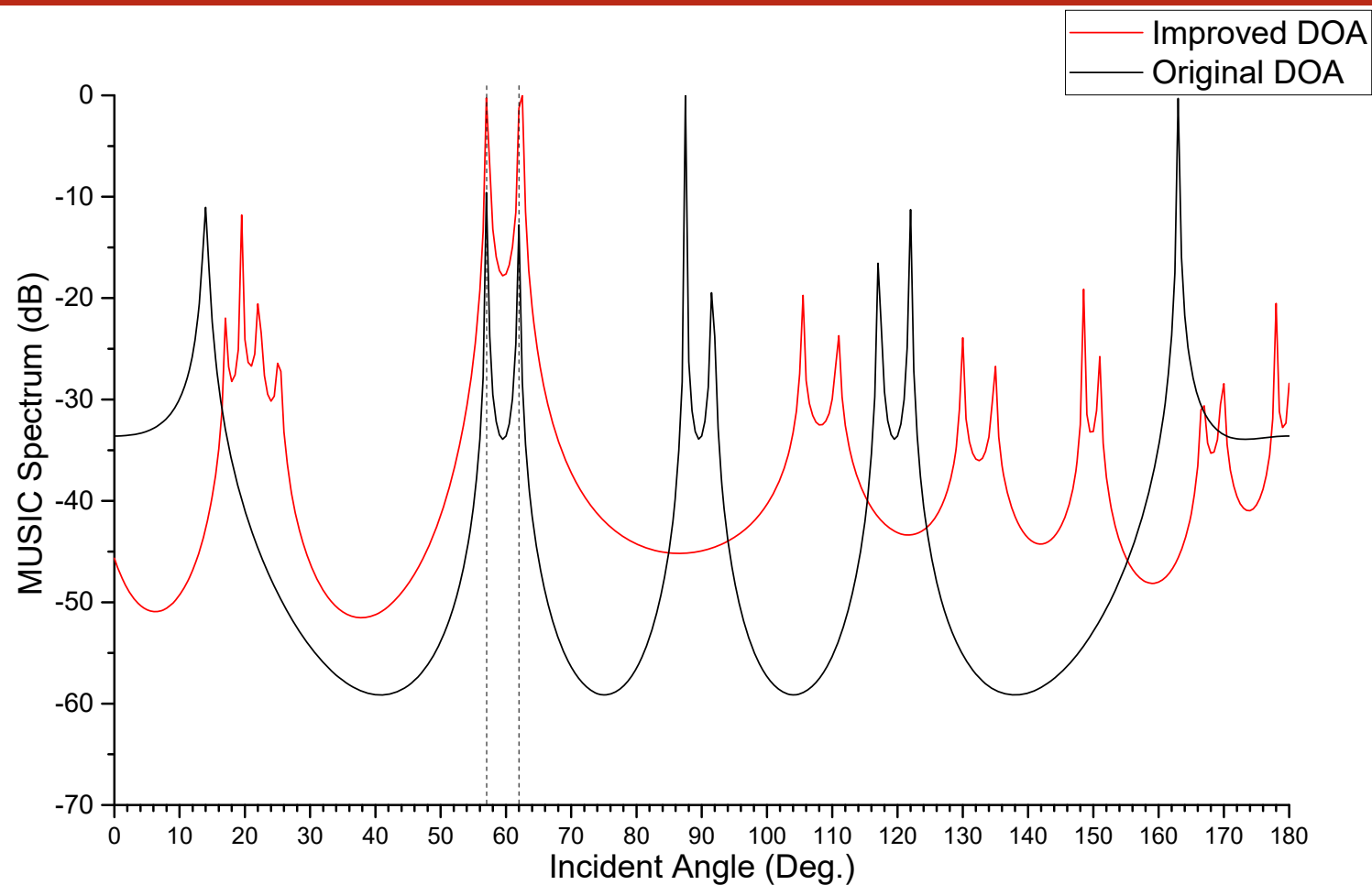


Fig. 8 Improved DOA Spectrum at Rotate Angle = 84 Deg.  
Element Number = 3, Incident Angle = [57,62], SNR=10, Time Snapshots=5000



### 3. 数值仿真结果与分析

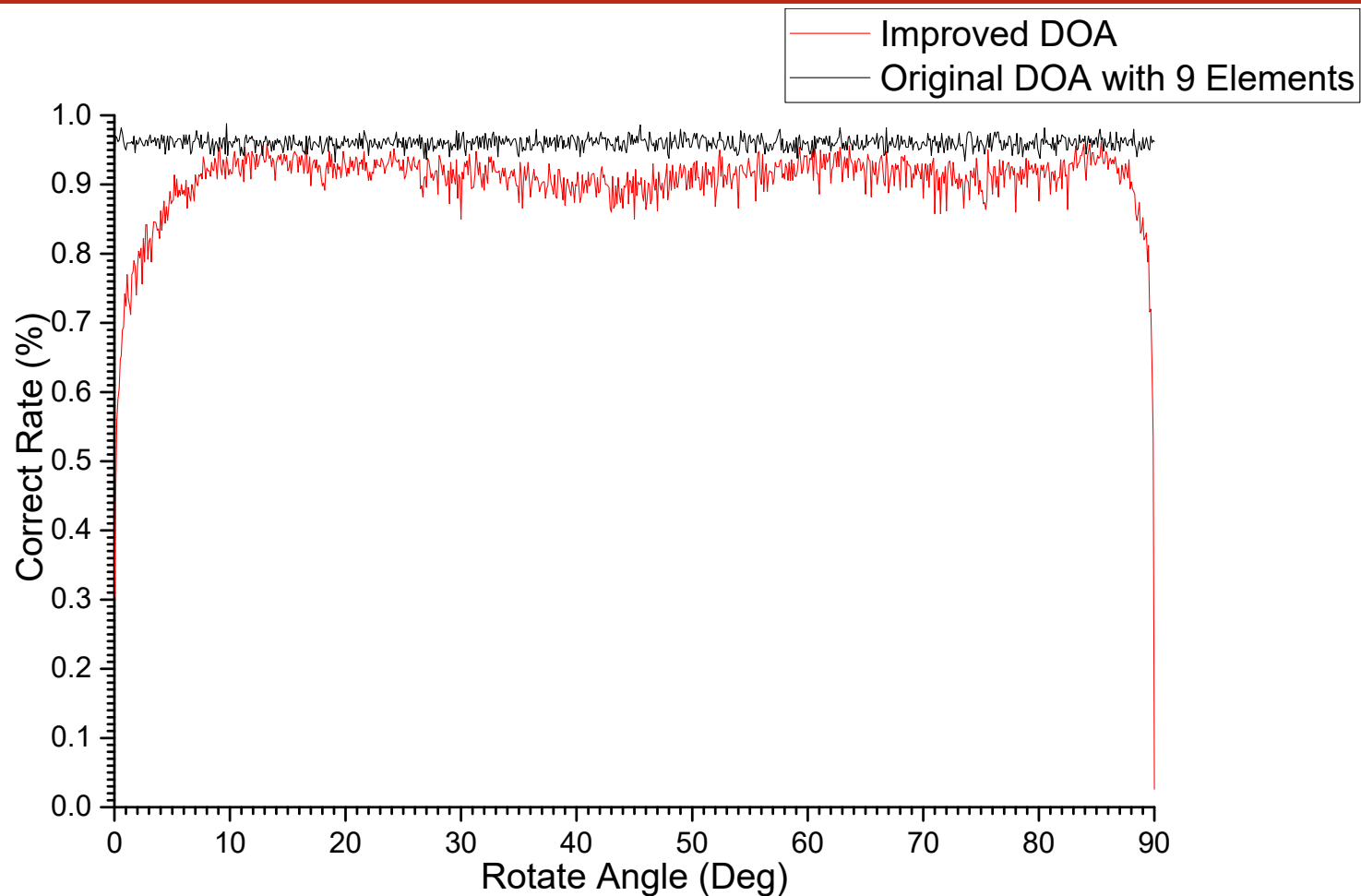


Fig. 9 Static Correct Rate of Improved and Original DOA from Rotate Angle = 0 to 90 with Step Length = 0.1  
500 Loops for Each Angle and Time Snapshots = 5000 for Each Loop, SNR = 10

## 4. 结论、展望与讨论

# Reference

---

- [1] ALLEN M P. Analysis and Synthesis of Aircraft Engine Fan Noise for Use in Psychoacoustic Studies [D]. Blacksburg, Virginia; Virginia Polytechnic Institute and State University, 2012.
- [2] 中国民用航空局. 民用机场飞行区技术标准 [M]. 2013.
- [3] JIAN M, KOT A C, ER M H. DOA estimation of speech source with microphone arrays [J]. ISCAS '98 Proceedings of the 1998 IEEE International Symposium on Circuits and Systems (Cat No98CH36187), 1998, 293-6 vol.5.



# Thank You!

Present By: Cui Ao